

# Géologie de la région septentrionale du réservoir aux Outardes 4, Côte-Nord

## LEGENDE STRATIGRAPHIQUE

### MÉSOPROTÉROZOÏQUE

**Mangérite de Sabot (1017 ± 2 Ma, Gobeil et al., 2002)**

**mP<sub>ms2</sub>** Charnockite, granite, quantité mineure de mangérite; dykes de pegmatite granitique

**mP<sub>ms1</sub>** Mangérite massive à foliée à grain moyen, mégacrastique; un peu de gabbro

**Suite plutonique de Trémaudan (1028 ± 8 Ma, Davis et Talla Takam, en préparation)**

**mP<sub>tr3</sub>** Gabbro et gabbrorite; à grain grossier; moyennement à forte susceptibilité magnétique. Quantités mineures de pyroxérite et de dunite

**mP<sub>tr2</sub>** Syénite quartzifère massive, porphyrique (jusqu'à 60 % de phénocristaux de feldspath perthitique). Quantités mineures de charnockite, de mangérite porphyrique et de gabbro

**mP<sub>tr1</sub>** Leuconorite porphyrique avec du plagioclase en baguettes; amas de norite pegmatitique

**Suite anorthositique de Tétépica (1051 ± 8 Ma, Moukhsil et al., 2013)**

**mP<sub>te1</sub>** Leuconorite, anorthosite, quantité mineure de leucotroctolite

**Suite de Louis (1060 ± 2,9 Ma, David, 2006; Moukhsil et al., 2009b; 1046 ± 14 Ma, Davis et Talla Takam, en préparation)**

**mP<sub>lo1</sub>** Leuconorite et norite porphyroblastiques (grenat, orthopyroxène, clinopyroxène). Quantités mineures de gabbro, gabbrorite, poches pegmatitiques à oxydes de fer et titane, monzodiorite et pyroxérite à olivine

**mP<sub>lo2</sub>** Gabbro et gabbrorite à forte susceptibilité magnétique; localement riches en oxydes de fer et titane (ilménite), magnétite et apatite. L'unité contient de rares niveaux de pyroxérite et de norite

**mP<sub>lo3</sub>** Gabbro et gabbrorite à texture ophitique ou subophitique, contenant de l'orthopyroxène ou du clinopyroxène en partie ou entièrement remplacés par de la hornblende, diorite et gabbro en lambeaux, en enclaves ou en injectons boudinés dans les unités encaissantes; pyroxérite

**Suite anorthositique à l'Argent (1103 ± 11 Ma, Davis et Talla Takam, en préparation)**

**mP<sub>ar1</sub>** Leuconorite, norite, anorthosite, porphyriques à porphyroblastiques; dyke de leuconorite à xénocrastes de labradorite. Quantités mineures de mangérite

**Suite plutonique de Céline**

**mP<sub>ce1</sub>** Mangérite, leuconorite, granite, charnockite

**Complexe de Canyon (1222 ± 72 Ma, Moukhsil et al., 2013; 1360 ± 17 Ma, Davis et Talla Takam, en préparation)**

**mP<sub>cy1</sub>** Mangérite déformée avec ou sans orthopyroxène; intrusions ou dykes granitiques; lambeaux ou radeaux de métasédiments du Complexe de la Plus-Value

**mP<sub>cy2</sub>** Gabbro et gabbrorite gneissiques; migmatites. Localement à litage compositionnel et à reliques de textures plutoniques (ophitique, porphyrique). Intégrités avec un matériel felsique. Assemblage de roches suggérant un contexte de roches volcanoclastiques (1410 ± 16 Ma, Dunning et Indares, 2010)

**Suite plutonique de Castoréum**

**mP<sub>cm1</sub>** Granite porphyrique à porphyroblastique, localement magnétique, charnockite; gneiss granitique. Quantités mineures de mangérite et de monzodiorite; dykes de pegmatite granitique

**Complexe de Hulot (1434 ± 64/28 Ma, Gobeil et al., 2002; 1376 ± 2 Ma, 1373 ± 3 Ma; Gobeil et al., 2005; 1394 ± 10 Ma, Davis et Talla Takam, en préparation)**

**mP<sub>hu1</sub>** Brèche à matrice mangérite et à fragments de roches mafiques et ultramafiques, de roches calco-silicatées, de quartzite et de gneiss d'origines diverses

**mP<sub>hu2</sub>** Charnockite à biotite et hornblende, foliée, à grain grossier

**mP<sub>hu3</sub>** Enderbite foliée, gneissique à migmatite à grain moyen

**mP<sub>hu4</sub>** Gneiss tonalitique à dioritique dérivé de la déformation et de la migmatitisation des faciès de ulc2 (enderbite foliée), ulc3 (tonalite à diorite), ulc4 (granite à monzonite), ulc5 (granite), ulc6 (charnockite) et ulc7 (brèche à matrice mangérite). Renflement des radeaux de roches supracrustales (paragneiss, paragneiss migmatites et migmatites et d'amphibolite)

**Suite plutonique des Outardes (1528 ± 30 Ma, Davis et Talla Takam, en préparation)**

**mP<sub>ou1</sub>** Mangérite déformée, leuconorite, gabbro

**Complexe de la Plus-Value (<1765 Ma, >1487,6 Ma, Moukhsil et al., 2012, 2013)**

**mP<sub>pv1</sub>** Paragneiss rouillé à biotite, sillimanite, grenat (couleur lilas) et graphite. Niveau (mm à m) de quartzite, de roches calco-silicatées et de marbre calcitique à dolomique

**mP<sub>pv2</sub>** Paragneiss à biotite et sillimanite et graphite et grenat. Rares niveaux de quartzite (mm à cm) et boudins de roches calco-silicatées

**mP<sub>pv3</sub>** Paragneiss quartzofeldspathique à biotite plus ou moins migmatitisé; migmatite; granite d'anatexis. Quantités mineures de boudins de quartzite et de roches calco-silicatées

Les symboles et abréviations utilisés sur cette carte sont décrits dans la publication PRO 2000-08 du ministère des Ressources naturelles.

## INDICES

### Gisement métallique

- Fe-Ti-P ± V associés aux intrusions mafiques
- 1. Ferceel 2. Ferwel
- Zinc de type SEDEX
- 3. Blanzay
- ▲ Au de type indéterminé
- 4. Cast'Or
- ◆ Terres rares associées aux pegmatites granitiques
- 5. Villon 6. Picard\_2
- ▲ Cu magmatique associé aux roches mafiques
- 7. Hermas
- ▲ Cu épigénétique
- 8. 12-AM-25

### Gisement non métallique

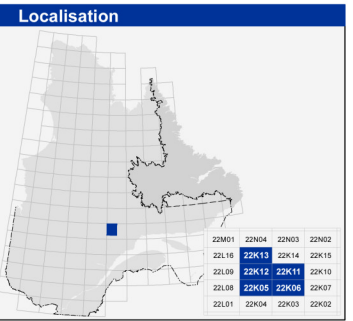
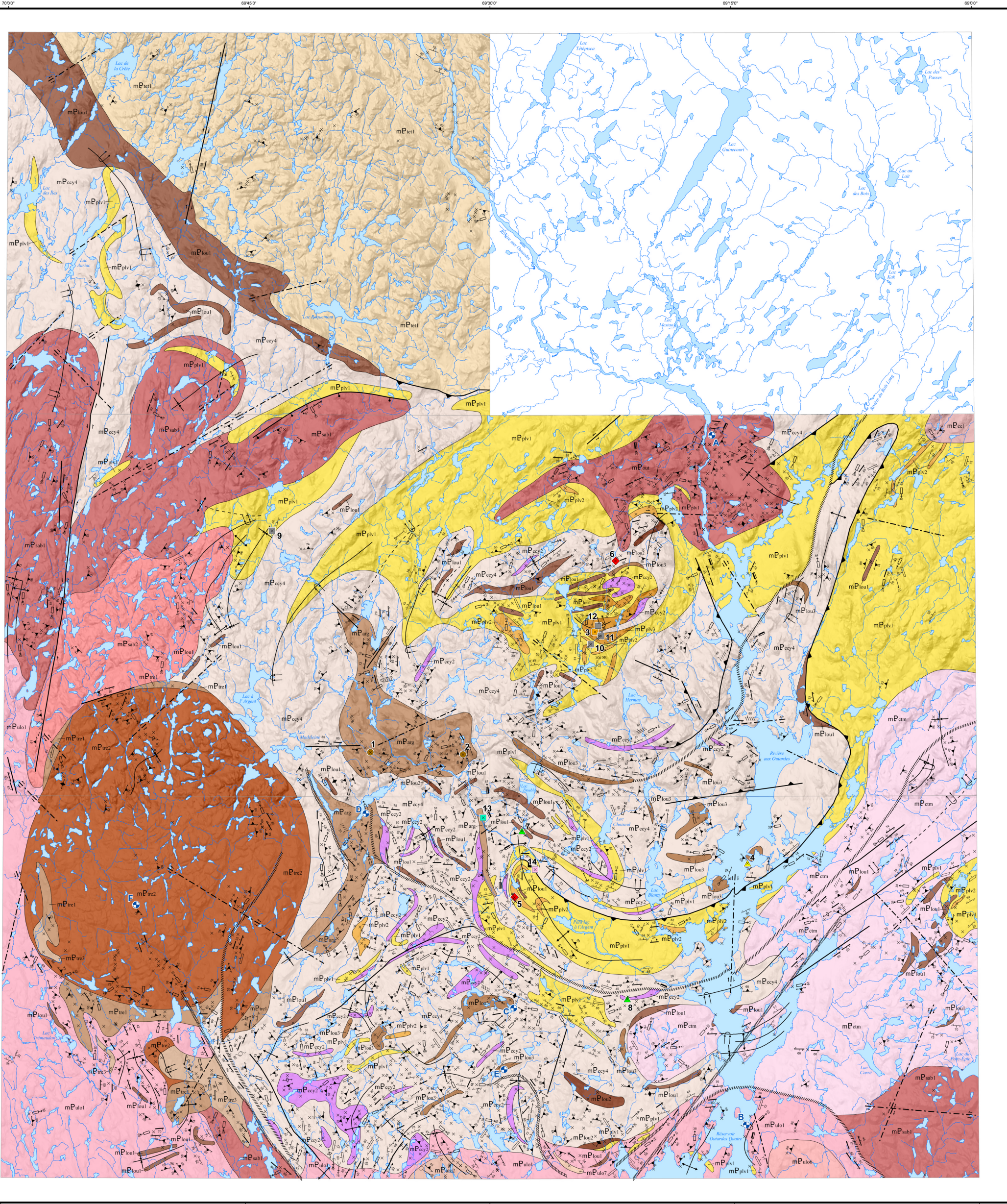
- Graphite associé aux paragneiss
- 9. Graphil 10. Gol 11. Lac Picard-AM-73 12. Lac Picard-AM-74

### Matériaux de construction et pierres industrielles

- Pierre ornementale
- 13. Orwel
- Pierre architecturale
- 14. Argenta

### Site d'une datation isotopique

- A : 1528 ± 30 Ma D : 1103 ± 11 Ma
- B : 1394 ± 10 Ma E : 1046 ± 14 Ma
- C : 1360 ± 17 Ma F : 1028 ± 8 Ma



Métadonnées	
Surface de référence géologique:	Ellipsoïde GRS 80
Système de référence géodésique:	NAD 83 compatible avec le système mondial WGS 84
Projection cartographique:	Mercator transverse universelle (MTU), fuseau 19
Longitude d'origine:	79°15'
Latitude d'origine:	0°

Sources	
Données	Ministère des Ressources naturelles
Base de données topographiques et administratives à l'échelle de 1:250 000 (BOTA 2004)	

Réalisation	
Compilation et modifications:	Abelhal Moukhsil, Fabien Sogadi, Agnès Indares, Saïd Belkacem
Référence:	Remois, J. H. (1976), DPN 448
Assistance technique:	Pierre-Thomas Poulin et Frédéric St-Pierre
Production:	Ministère des Ressources naturelles Direction générale de Géologie Québec
Diffusion:	Ministère des Ressources naturelles Direction de l'information géologique du Québec

Le présent document n'a aucune portée légale  
 Dépôt légal - Bibliothèque et Archives nationales du Québec  
 © Gouvernement du Québec, 3<sup>e</sup> trimestre 2013

RG 2013-03-C001

Carte du rapport RG 2013-03  
 Pour obtenir les données les plus récentes concernant cette région,  
 nous vous suggérons de consulter les produits géomatiques du  
 Système d'information géologique du Québec (SIGÉOM)

